

空力的制振機能を有する遮音壁の遮音性能評価

岡山大学環境理工学部 学生会員 ○平川陽介 小川幸剛 正会員 比江島慎二

1. はじめに

遮音壁を高架橋に設置すると渦励振が顕著となり高架橋の耐風性に悪影響を与えることがある。その対策として高架橋の遮音壁上端にフェアリングプレートを取り付けることが検討されている。図1はフェアリングプレートの高架橋への設置例¹⁾である。これにより高架橋の断面形状が流線型化するとの同様の効果が生じ剥離流れがスムーズになり耐風安定性の向上が期待される。本研究ではこれらの遮音壁の遮音性能について境界要素法を用いた数値シミュレーションにより検討する。

2. 解析方法

解析は音響解析ソフトSYSNOISEを使用し2次元境界要素法で行う。解析I, 解析IIの2種類を行い、解析Iでは一般道路(平坦)を、解析IIでは高架橋道路を対象にしている。それぞれ、道路の路肩に遮音壁を設置した場合に自動車から発生した音が空間内をどのように伝播し、どの程度の騒音を引き起こすかを知ることを目的としている。ここでは地表面は対称条件とし、音源はASJ Model/1993の代表スペクトルを用い50hzから2500hz(1/3オクターブバンド中心周波数)の18バンドで解析を行う²⁾。また吸音材の周波数特性は実際の吸音材を参考にした。³⁾

【解析I】解析Iの解析モデルを図2に示す。音源は線音源とし地表面上に置く。p1からp16は測定点であり全測定点をall, Y=0, 1.2mの測定点をlow, Y=3.5, 5.0mをhigh, X=10, 20mをnear, X=30, 40mをfarと名付け区分する。遮音壁表面を境界要素メッシュで分割しメッシュ幅は解析精度を考慮して最大解析周波数2500hzの1/18(0.7cm程度)とした。

【解析II】解析IIの解析モデルを図3に示す。ここでは高架橋、遮音壁双方を境界要素メッシュで作成しメッシュ幅は音源直下の路面2mの部分は2500hzの1/36波長(0.33cm程度)とし、それ以外の部分は1/12波長(1cm程度)とする。水平方向(X方向)の原点を右側の遮音壁の位置とし鉛直方向(Y方向)の原点を地表面とする。道路面は地表面から10mの高さにし道路幅は15m、桁高は2.5mとする。音源は線音源とし、道路中央で道路面から0.3mの高さに設置する。測定点はY=0, 1.2, 3.5, 5.0, 7.0mのそれぞれの高さにおいて、X=0mから60mまで5m間隔で設定し、縦5×横13のメッシュ状に65点とした。

3. 解析結果

以下において、音圧は全てオーバーオール値を指すものとする。

【解析I】図4は基準となる高さ4.5mの単純壁における音圧レベル分布である。まず図1と同じフェアリングプレートを取り付けた遮音壁を基本型と呼ぶことにし、θ=0度、30度とした場合の音圧レベル分布を図5、図6に示す。θ=0度の方がより高い遮音効果があることがわかる。さらにその他のθについても解析し単純壁を基準とした挿入損失の平均値をまとめた結果を図9に示す。ここで平均値は前述のall, low, high, near, farの測定点の

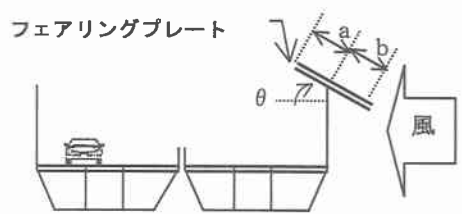


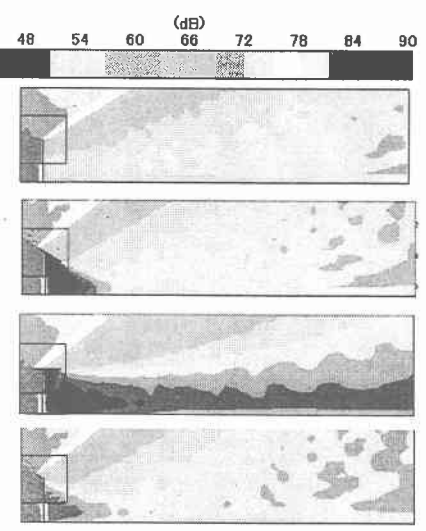
図1 空力的制振対策を施した高架橋の例¹⁾
(直壁部高さ4.5m, $\theta = 30$ 度, $a = 1$ m, $b = 2$ m)



図2 解析Iのモデル



図3 解析IIのモデル



区分ごとに示している。図中 b_1 の範囲では音源から音が各測定点まで伝わる経路上において回折点が 2箇所となり最も効果が大きい。参考文献 1) の制振対策と同じ $\theta=30$ 度は d_1 にあり回折点が 1箇所となり遮音性能の改善はあまり見られない。次に $a=1m$, $b=0m$ とした遮音壁と $a=0m$, $b=2m$ とした遮音壁について遮音性能を調べた (a, b は図 1 を参照)。ここではそれぞれを内折れ型、外折れ型と呼ぶことにする。図 7、図 8 はそれぞれ $\theta=30$ 度の内折れ型、外折れ型の音圧レベル分布である。単純壁と比較した時、測定点付近において内折れ型は遮音性能が上昇し外折れ型は低下している。また同様のことを $\theta=0$ 度においてもおこなったところ内折れ型、外折れ型双方において遮音性能の上昇が見られた。以上より、プレートが $\theta > 0$ で傾いている場合はプレート上面で反射された音が上方に逃げずに右方の空間に拡がり遮音効果が低下すると考えられる。これは $\theta=30$ 度の基本型の様々な部位に吸音材を適用したモデルを解析し相互に比較したところプレート上面に吸音材を取り付けた時、最も遮音性能が上昇したことからも言える。ただし $\theta > 0$ の時、内折れ部は遮音壁高さを上げる働きをし、全体として遮音性能を向上させる効果を有すると考えられる。

【解析 II】 道路両側に 4.5m の単純壁を設置したものをタイプ A と呼ぶ。各遮音壁の遮音性能はタイプ A の音圧レベル分布 (図 10) に対する挿入損失で評価する。

タイプ A の右側の遮音壁だけを基本型とし左側は単純壁としたものをタイプ B と呼ぶことにする。また現在高架橋において多用されている張り出し型遮音壁についても同時に解析を行いタイプ B との比較を行う。ここでは内折れ型を道路の両側に設置しタイプ C と呼ぶ事にする。

図 11、図 12 はそれぞれ $\theta=0$ 度の時のタイプ B とタイプ C の音圧分布であり図 13、図 14 は図 11、図 12 における $Y=1.2, 3.5, 7.0m$ の測定点での挿入損失である。タイプ B、タイプ C 双方において挿入損失は常に正であり、またタイプ B の方がより大きな値を示している。一方図 15、図 16 は $\theta=30$ 度におけるタイプ B、タイプ C の音圧レベル分布であり図 17、図 18 はそれぞれの挿入損失である。双方の挿入損失は回折点が 2 箇所となる測定点付近では正、1 箇所となる測定点付近では負となっている。そこで図 15、図 16 の遮音壁のプレート上面に吸音材を取り付けた所、双方とも挿入損失は常に正となった (図 19、図 20)。

3. 結論

プレートまたは張り出し部を遮音壁に取り付ける際、 θ の値により各測定点における回折回数が 2 回であれば遮音効果が高い。しかし 1 回回折となる測定点ではプレート上面での反射によってあまり高い遮音効果が得られないか、あるいは遮音効果が低下するので吸音材の適用が必要である。また $\theta > 0$ の時、プレートによる反射音は遮音性能に悪影響を与えるが内折れ型のプレートは遮音壁高さを上げ遮音性能を上昇させる。一方外折れ型はプレートによる反射音が大きく一回回折部の遮音性能を低下させるが 2 回回折部は上昇する。基本型は双方の性質を併せ持ち一回回折部では双方の中間的な遮音性能を有する。

参考文献 1) 島賢治他「単径間弾性模型を用いた防音壁付並列箱桁橋の空力的制振対策の検討」土木学会第 56 回年次学術講演会 2) 日本音響学会誌 54 卷 4 号「新型遮音壁の音響効果の評価方法について」 3) 三輪俊輔他「騒音・振動対策ハンドブック (第 4 章)」技報堂出版

